

## 掺杂 $\text{La}^{3+}$ 对纳米 $\text{Au}/\text{TiO}_2$ 催化剂结构和性能的影响

侯凯军 孟明\* 邹志强 吕倩

(天津大学化工学院催化科学与工程系, 天津 300072)

**摘要:** 采用三嵌段共聚物聚乙醚-聚丙醚-聚乙醚  $\text{EO}_{20}\text{PO}_{70}\text{EO}_{20}$ (P123)为有机模板剂分别合成了纯的和掺杂少量  $\text{La}^{3+}$  的介孔  $\text{TiO}_2$  载体, 用沉积-沉淀法制得负载金催化剂。运用  $\text{N}_2$  吸附-脱附(BET)、X射线衍射(XRD)、X射线光电子能谱(XPS)、高分辨电镜技术(HR-TEM)和X射线能量分散谱(EDX)对催化剂的结构与形貌进行了表征。BET结果表明, 采用P123为模板剂合成的纯  $\text{TiO}_2$  具有较大的比表面积( $103 \text{ m}^2 \cdot \text{g}^{-1}$ )和均一的介孔结构( $\sim 4.1 \text{ nm}$ ), 掺杂  $\text{La}^{3+}$  后, 其比表面积进一步提高到  $122 \text{ m}^2 \cdot \text{g}^{-1}$ , 同时孔径也有所增大( $\sim 4.9 \text{ nm}$ )。450 °C焙烧后,  $\text{Au}/\text{TiO}_2$  催化剂的介孔结构已部分被破坏, 而  $\text{Au}/\text{La-TiO}_2$  催化剂仍保持较均匀的介孔结构;  $\text{Au}/\text{TiO}_2$  催化剂表面的 Au 主要以金属态存在, 而  $\text{Au}/\text{La-TiO}_2$  催化剂表面除  $\text{Au}^0$  外, 还有少量  $\text{Au}_2\text{O}_3$  物种。HR-TEM结果表明, 400 °C焙烧后,  $\text{Au}/\text{TiO}_2$  上金晶粒尺寸在  $6\sim 8 \text{ nm}$  范围内, 而  $\text{Au}/\text{La-TiO}_2$  催化剂上金晶粒尺寸在  $5 \text{ nm}$  左右; 450 °C焙烧后,  $\text{Au}/\text{TiO}_2$  中金晶粒尺寸显著提高至  $20 \text{ nm}$  以上, 而  $\text{Au}/\text{La-TiO}_2$  中金晶粒尺寸仅在  $9 \text{ nm}$  左右。活性测试结果表明, 400 °C及以下温度焙烧的  $\text{Au}/\text{TiO}_2$  和  $\text{Au}/\text{La-TiO}_2$  催化剂均显示出很好的 CO 氧化活性, 室温下就能将 CO 完全氧化。但是, 经 450 °C焙烧后,  $\text{Au}/\text{TiO}_2$  催化剂上 CO 完全氧化温度高达  $86 \text{ }^\circ\text{C}$ , 而在  $\text{Au}/\text{La-TiO}_2$  催化剂上仅为  $53 \text{ }^\circ\text{C}$ 。少量  $\text{La}^{3+}$  的掺杂有效抑制了金晶粒的烧结, 使金催化剂具有较高的活性和热稳定性。

**关键词:** 纳米金催化剂; 一氧化碳氧化; 介孔二氧化钛; P123 模板剂; 掺杂;  $\text{La}^{3+}$

中图分类号: O614.33<sup>1</sup>; O614.123; O614.41<sup>1</sup> 文献标识码: A 文章编号: 1001-4861(2007)09-1538-07

## Effect of $\text{La}^{3+}$ Doping on the Structures and Performance of Nano-structured $\text{Au}/\text{TiO}_2$ Catalysts

HOU Kai-Jun MENG Ming\* ZOU Zhi-Qiang LU Qian

(Department of Catalysis Science and Technology, School of Chemical Engineering and Technology, Tianjin University, Tianjin 300072)

**Abstract:** The mesoporous  $\text{TiO}_2$  and  $\text{La-TiO}_2$  were synthesized by using P123 as an organic template, and the supported gold catalysts were prepared by using deposit-precipitation method. The  $\text{N}_2$  adsorption-desorption, XRD, XPS, HR-TEM and Energy Dispersive X-ray (EDX) analysis techniques were employed to characterize the structures of the catalysts. The results of  $\text{N}_2$  adsorption-desorption show that the synthesized  $\text{TiO}_2$  possesses high surface area ( $103 \text{ m}^2 \cdot \text{g}^{-1}$ ) and uniform mesoporous structure with the pore size mainly centered at  $\sim 4.1 \text{ nm}$ . With the doping of  $\text{La}^{3+}$ , the surface area and the pore size of  $\text{La}^{3+}$  doped mesoporous  $\text{TiO}_2$  increase to  $122 \text{ m}^2 \cdot \text{g}^{-1}$  and  $\sim 4.9 \text{ nm}$ , respectively. After calcination at  $450 \text{ }^\circ\text{C}$ , the mesoporous structure of  $\text{Au}/\text{TiO}_2$  has collapsed partly, while that of  $\text{Au}/\text{La-TiO}_2$  is well maintained. The gold in  $\text{Au}/\text{TiO}_2$  calcined at  $450 \text{ }^\circ\text{C}$  exists as  $\text{Au}^0$ , but in  $\text{La}^{3+}$  doped catalyst there is a small portion of  $\text{Au}_2\text{O}_3$  in addition to  $\text{Au}^0$ . The results of HR-TEM show that after calcination at  $400 \text{ }^\circ\text{C}$ , the crystallite sizes of Au in  $\text{Au}/\text{TiO}_2$  and  $\text{Au}/\text{La-TiO}_2$  are  $6\sim 8 \text{ nm}$  and  $\sim 5 \text{ nm}$ , respectively. After calcination at  $450 \text{ }^\circ\text{C}$ , the Au crystallites in  $\text{Au}/\text{TiO}_2$  increase to above  $20 \text{ nm}$ , while in  $\text{Au}/\text{La-TiO}_2$  they still keep very small size of  $\sim 9 \text{ nm}$ . For ambient CO oxidation, all the catalysts calcined at  $400 \text{ }^\circ\text{C}$  or below exhibit

收稿日期: 2007-04-11。收修改稿日期: 2007-08-12。

国家高技术研究发展计划(863计划)(No.2006AA06Z348)和国家自然科学基金(No.20676097)资助项目。

\*通讯联系人。E-mail: mengm@tju.edu.cn; Tel: 022-27892275

第一作者: 侯凯军, 男, 25岁, 硕士研究生; 研究方向: 环境催化。

excellent activity. After calcination at 450 °C, the temperature for the full conversion of CO over Au/TiO<sub>2</sub> reaches 86 °C, while the temperature is only 53 °C over Au/La-TiO<sub>2</sub>. The doping of a small amount of La<sup>3+</sup> effectively inhibits the sintering of Au crystallites, and therefore, makes the catalyst possess good activity and high thermal stability.

**Key words:** nano-structured gold catalyst; carbon monoxide oxidation; mesoporous titania; P123 template; doping; La<sup>3+</sup>

自从 1989 年 Haruta 等<sup>[1]</sup>发现负载在过渡金属氧化物上的金催化剂对 CO 低温氧化表现出很高的催化活性之后,金催化剂引起了人们的极大兴趣与关注。大量研究表明<sup>[2,3]</sup>,影响负载型金催化剂最重要的两个因素为:(1) 金的晶粒尺寸;(2) 金与载体之间的相互作用。在众多负载型金催化剂中,由于 Au 与 TiO<sub>2</sub> 载体之间具有较强的相互作用,Au/TiO<sub>2</sub> 成为当前的研究热点之一<sup>[3~5]</sup>。Au/TiO<sub>2</sub> 对 CO 低温氧化<sup>[6]</sup>,低温水气变换<sup>[7]</sup>,丙烯环氧化<sup>[8]</sup>等反应都表现出良好的催化性能,具有很好的应用前景。目前,Au/TiO<sub>2</sub> 催化剂的主要缺点是热稳定性差,一般在 300 °C以上焙烧时就会部分或者完全失活<sup>[4,5,9,10]</sup>,很大程度上限制了它的实际应用,因此,改善 Au/TiO<sub>2</sub> 催化剂的热稳定性尤为必要。

研究表明,La<sub>2</sub>O<sub>3</sub> 作为一种结构助剂,对表面高分散的贵金属及  $\gamma$ -Al<sub>2</sub>O<sub>3</sub> 具有良好的热稳定性作用<sup>[11]</sup>。Yuan 等<sup>[12]</sup>研究发现,向 TiO<sub>2</sub> 中掺杂少量的 La<sup>3+</sup>可以提高介孔 TiO<sub>2</sub> 的热稳定性,改善 TiO<sub>2</sub> 光催化转化甲基橙的催化活性。本工作采用三嵌段式共聚物 P123 作为模板剂合成了介孔 TiO<sub>2</sub> 及原位掺杂 LaCl<sub>3</sub>(原子比 La/Ti=0.50%) 的介孔 La-TiO<sub>2</sub>,以此为载体制备了相应的 Au/TiO<sub>2</sub> 及 Au/La-TiO<sub>2</sub> 催化剂,系统考察了 La<sup>3+</sup> 的掺杂对金晶粒的分散性及金催化剂的活性和热稳定性的影响。本工作制备的 Au/La-TiO<sub>2</sub> 催化剂不仅比 Au/TiO<sub>2</sub> 催化剂具有更好的 CO 低温氧化性能,而且其热稳定与文献<sup>[5,9,10]</sup>相比有明显改善。这种通过原位改性向 TiO<sub>2</sub> 中掺杂 La<sup>3+</sup>,来改善 Au/TiO<sub>2</sub> 催化剂的活性和热稳定性的研究尚未见报道。

## 1 实验部分

### 1.1 催化剂制备

#### 1.1.1 TiO<sub>2</sub> 的合成

TiO<sub>2</sub> 的合成采用有机模板法,将 4.5 g 模板剂 P123(Sigma-Aldrich, A.R.) 溶解到 50 mL 的乙醇中,不断搅拌下逐滴加入 10 mL TiCl<sub>4</sub> 溶液,使 TiCl<sub>4</sub>:

EtOH:P123 物质的量的比为 1:9.4:0.008 5,该混合溶液于室温下剧烈搅拌 2 h,再于 40 °C 水浴中老化 5 d,400 °C 焙烧 5 h,得到 TiO<sub>2</sub> 载体,记做 TiO<sub>2</sub>。掺杂 La<sup>3+</sup> 的载体制备,首先在 50 mL 的乙醇中加入 0.168 g 的 LaCl<sub>3</sub>·7H<sub>2</sub>O,使 LaCl<sub>3</sub>·7H<sub>2</sub>O:TiCl<sub>4</sub>:EtOH:P123 物质的量的比为 0.005:1:9.4:0.008 5,其余步骤与上述方法相同,得到掺杂 LaCl<sub>3</sub> 的 TiO<sub>2</sub> 载体,记作 La-TiO<sub>2</sub>,掺杂量为 La/Ti=0.50%(原子比)。

#### 1.1.2 Au/TiO<sub>2</sub> 的制备

分别采用 TiO<sub>2</sub> 和 La-TiO<sub>2</sub> 为载体,用沉积-沉淀法制备理论负载量为 1%(Au 对载体的质量百分数)的金催化剂。实验以 NaOH 溶液作为沉淀剂。首先用 1 mol·L<sup>-1</sup> 的 NaOH 溶液将 152.3 mL 1.00 mmol·L<sup>-1</sup> 的 HAuCl<sub>4</sub> 溶液的 pH 值调为 8,然后将 3 g TiO<sub>2</sub> 粉末加入到上述 HAuCl<sub>4</sub> 溶液中,此时溶液的 pH 值会不断地下降,继续加 NaOH 溶液调节使 pH 值保持为 8。将此悬浮液在 70 °C 下剧烈搅拌 2 h,此过程中悬浮液的颜色由乳白色逐渐变成苍白的浅紫色,悬浮液冷却后测得的 pH 值约为 8。样品经洗涤、过滤、室温下干燥,于不同温度下焙烧 4 h,得到 Au/TiO<sub>2</sub> 和 Au/La-TiO<sub>2</sub> 催化剂。

### 1.2 催化剂表征

催化剂的比表面积和孔径分布测试使用美国 Quantachrome 公司生产的 NOVA 2000 SERIES 型物理吸附仪在 -196 °C 下进行。测试前,样品于 200 °C 真空条件下处理 10 h。用 BET 公式由 N<sub>2</sub> 吸附-脱附等温线的吸附支计算样品的比表面积,用 Barrett Joyner-Halenda(BJH)公式由脱附支计算孔径分布。

X 射线衍射(XRD) 测试采用荷兰帕纳科公司生产的 X'pert Pro 型多晶粉末衍射仪,Co K $\alpha$ ( $\lambda=0.179\text{02 nm}$ ) 为辐射源,管电压 40 kV,管电流 40 mA,2 $\theta$  扫描范围为 20°~90°,步长为 0.017°。由于金在 2 $\theta$ =93.3°有一特征衍射峰,该峰与锐钛矿或金红石结构的 TiO<sub>2</sub> 衍射峰均不重叠,故负载金后的样品的扫描范围选择 85°~105°,步长为 0.017°。

X 射线光电子能谱(XPS) 测试在 PHI-1600

ESCA SYSTEM型X射线光电子能谱仪上进行,光源为Mg K $\alpha$ 射线( $E_b=1653.6\text{ eV}$ ),真空度为 $5.0\times 10^{-6}\text{ Pa}$ ,结合能误差为 $\pm 0.2\text{ eV}$ ,以污染碳(C1s, $E_b=284.8\text{ eV}$ )作为结合能校正标准。

催化剂的孔结构与形貌、金晶粒大小与分布及元素组成测试在Philips TecnaiG<sup>2</sup>F20型HR-TEM仪器上进行,测试前样品用乙醇经超声波分散,在铜网上晾干后直接拍摄,电子加速电压为200 kV。

### 1.3 催化剂活性评价

活性测试在内径为8 mm的石英管式固定床反应器中进行,原料气组成为CO:O<sub>2</sub>:N<sub>2</sub>物质的量的比为1:3:96,空速约22 500 h<sup>-1</sup>。用配有TCD检测器和甲烷转化炉的气相色谱仪(北京分析仪器厂,SP-3430型)分析原料和产物。

## 2 结果与讨论

### 2.1 XRD结果

图1(a)、(b)分别为400 °C焙烧的TiO<sub>2</sub>和La-TiO<sub>2</sub>的XRD图。由此图可见,400 °C焙烧时,TiO<sub>2</sub>和La-TiO<sub>2</sub>载体均为锐钛矿晶相,没有检测到La<sub>2</sub>O<sub>3</sub>相的衍射峰,因为La<sup>3+</sup>的掺杂量太低。此外,掺杂La<sup>3+</sup>后,TiO<sub>2</sub>衍射峰的位置也没有发生改变,表明La<sup>3+</sup>并未进入到TiO<sub>2</sub>晶格形成固溶体,这与La<sup>3+</sup>的半径(0.1016 nm)比Ti<sup>4+</sup>(0.068 nm)大得多有关。La<sup>3+</sup>可能比较均匀地分散在TiO<sub>2</sub>纳米微晶中,这有利于表面相互作用形成Ti-O-La键合,从而阻止锐钛矿晶粒的长大<sup>[12]</sup>,这一点从掺杂La<sup>3+</sup>样品的衍射峰变弱和宽化可以看出。对于负载催化剂,由于Au的负载量太低,其XRD图中只能检测到载体的衍射峰,故未示出。

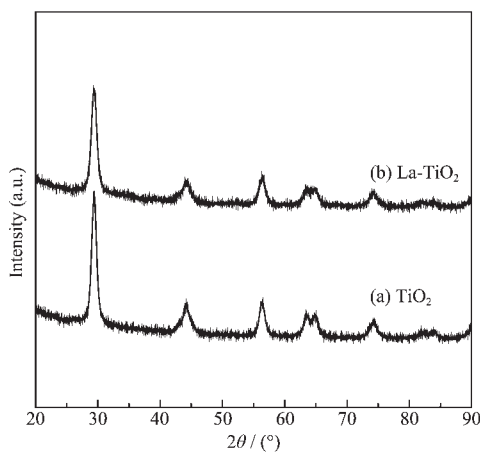


图1 载体TiO<sub>2</sub>和La-TiO<sub>2</sub>的XRD图

Fig.1 XRD patterns of the support calcined at 400 °C

### 2.2 比表面积和孔径分布结果

图2(a)、(b)分别是Au/TiO<sub>2</sub>和Au/La-TiO<sub>2</sub>经450 °C焙烧后的N<sub>2</sub>吸附-脱附等温线和孔径分布曲线。由图2(a)可见,Au/TiO<sub>2</sub>和Au/La-TiO<sub>2</sub>均具有典型的IV类吸附-脱附等温线,在 $P/P_0=0.4\sim 0.9$ 范围内都有明显的滞后环,这是介孔结构存在的有力证据。表1为载体经400 °C焙烧以及负载金催化剂经450 °C焙烧后样品的比表面积、平均孔径和孔容。可以看出,同掺杂La<sup>3+</sup>的载体相比,纯TiO<sub>2</sub>载体比表面积、平均孔径和孔容相对较小,且Au/TiO<sub>2</sub>催化剂的孔径分布均一性较Au/La-TiO<sub>2</sub>大大下降(见图2(b)),这可能是TiO<sub>2</sub>在焙烧时部分介孔结构塌陷所致<sup>[12]</sup>。上述结果说明少量La<sup>3+</sup>的掺杂有助于提高介孔结构的热稳定性,这与XRD结果一致。

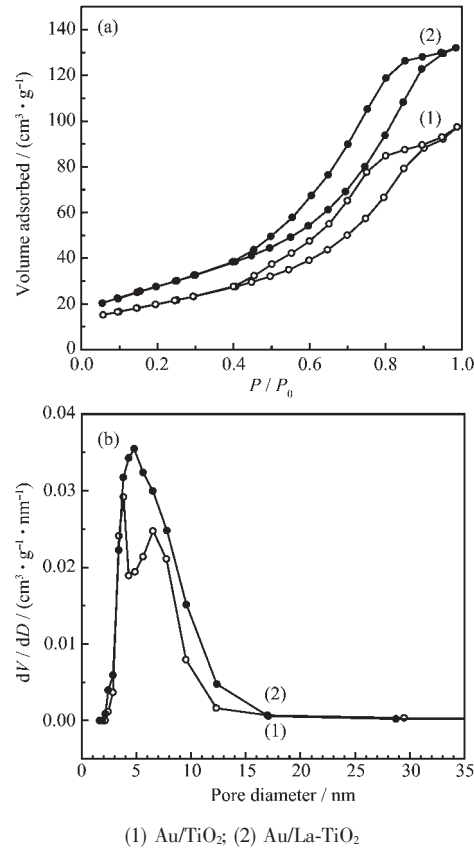


图2 样品的N<sub>2</sub>吸附-脱附等温线(a)和孔径分布曲线(b)

Fig.2 N<sub>2</sub> adsorption-desorption isotherms (a) and pore size distributions (b) of the samples

经450 °C焙烧后,Au/TiO<sub>2</sub>的比表面积与载体TiO<sub>2</sub>相比下降了20.4%,平均孔径也增大,而Au/La-TiO<sub>2</sub>的比表面积与La-TiO<sub>2</sub>相比仅下降了2.5%,平均孔径保持不变,表明La<sup>3+</sup>的掺杂有利于保持催化剂的高比表面积。此外,两载体负载金后,孔容均有

表 1 400 ℃焙烧载体及 450 ℃焙烧的催化剂的比表面积、平均孔径和孔容

Table 1 Textural data of the support calcined at 400 °C and the catalysts calcined at 450 °C

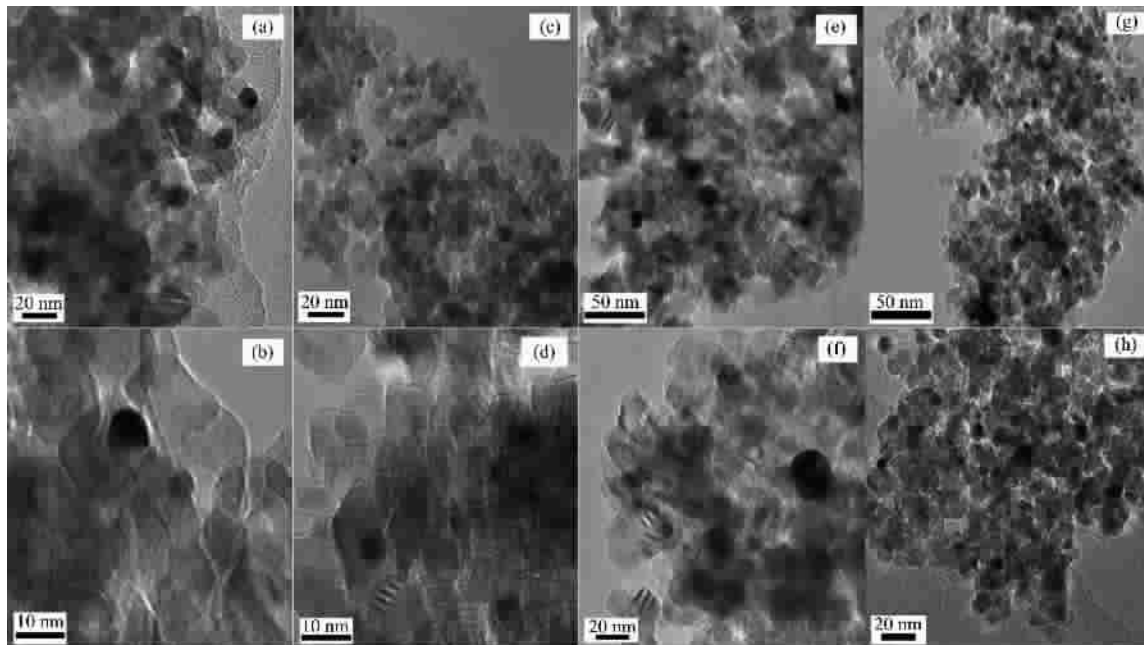
Sample	BET surface area / (m <sup>2</sup> ·g <sup>-1</sup> )	Average pore diameter / nm	Pore volume / (cm <sup>3</sup> ·g <sup>-1</sup> )
TiO <sub>2</sub>	103	4.1	0.183 7
La-TiO <sub>2</sub>	122	4.9	0.225 9
Au/TiO <sub>2</sub>	82	4.5	0.160 0
Au/La-TiO <sub>2</sub>	119	4.9	0.217 1

所减小，可能是部分金晶粒沉积于介孔孔道内所致。这与 Yin 等报道的介孔 Al<sub>2</sub>O<sub>3</sub> 负载的金催化剂类似<sup>[13]</sup>。

### 2.3 HR-TEM 结果

负载金催化剂的 HR-TEM 形貌图示于图 3。由图 3(a)、(b)可知, Au/TiO<sub>2</sub> 在 400 ℃焙烧后,TiO<sub>2</sub> 的晶粒尺寸在 12 nm 左右, 金晶粒尺寸在 6~8 nm 范围内, 且分散不是十分均匀, 有些金晶粒已经局部聚集。掺杂 La<sup>3+</sup>后, 如图 3(c)、(d)所示, TiO<sub>2</sub> 的晶粒尺寸约为 9 nm, 金晶粒主要分散在 TiO<sub>2</sub> 晶粒之间和介孔孔道内部, 分散比较均匀, 金晶粒尺寸在 5 nm 左右。将焙烧温度提高至 450 ℃, Au/TiO<sub>2</sub> 中金晶粒尺

寸增加到 20 nm 以上(参见图 3(e)、(f)), 金的聚集较严重;而掺杂 La<sup>3+</sup>的样品, 虽有一定程度的聚集, 但大部分金晶粒尺寸在 9 nm 左右(参见图 3(g)、(h)), 且分散比较均匀。结合孔结构数据可知, 掺杂的 La<sup>3+</sup>一定程度上阻止了 TiO<sub>2</sub> 介孔孔壁的塌陷, 使 La-TiO<sub>2</sub> 的比表面积和介孔孔径增大, 从而使金晶粒能够更加均匀地分散在 La-TiO<sub>2</sub> 表面和介孔孔道内, 有效抑制了金晶粒的聚集。此外, La<sub>2</sub>O<sub>3</sub> 是良好的分散助剂, 能促进金物种以及载体 TiO<sub>2</sub> 的分散, 抑制锐钛矿晶粒的长大(XRD 结果)。由此可见, 原位掺杂 La<sup>3+</sup> 对介孔 TiO<sub>2</sub> 进行改性效果显著, 可以制得具有高热稳定性的负载金催化剂。

图 3 不同温度焙烧的 Au/TiO<sub>2</sub> 和 Au/La-TiO<sub>2</sub> 的 TEM 照片Fig.3 TEM images of Au/TiO<sub>2</sub> and Au/La-TiO<sub>2</sub> calcined at different temperatures

### 2.4 EDX 结果

用 HR-TEM 配置的能谱仪(EDX)对不同金催化剂进行微区成分分析, 分析结果见图 4。图 4(a)是 Au/TiO<sub>2</sub> 在 450 ℃焙烧后的微区成分分析结果, 从图中可以看出, Au/TiO<sub>2</sub> 只含有 Au、Ti 2 种元素(图中显示的 Cu、C 是铜网支持膜本身引入的 2 种元

素), 而没有 Cl 元素, 表明催化剂在制备过程中 Cl<sup>-</sup>已被洗涤去除。图 4(b)是 Au/La-TiO<sub>2</sub> 在 450 ℃焙烧后的微区成分分析 EDX 谱, 该图显示出在纳米级微区除了含有 Au、Ti、O 元素外还含有 La 元素, 表明 La<sup>3+</sup>与其它元素接触充分, 分散良好, 这进一步证实了催化剂结构和性能的改变正是由于 La<sup>3+</sup>的掺杂

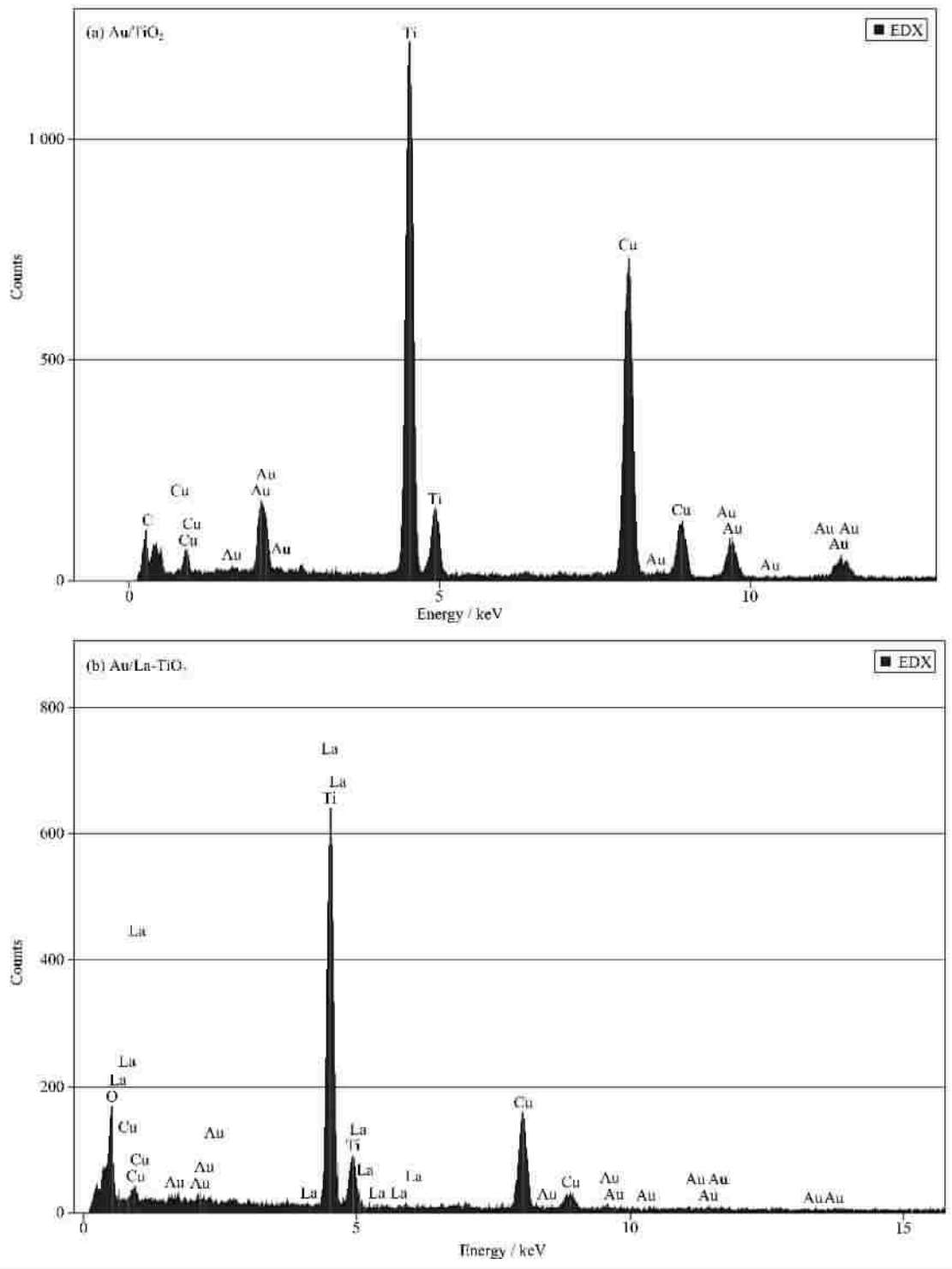


图4 负载金催化剂的EDX谱图

Fig.4 EDX spectra of the supported Au catalysts calcined at 450 °C

所致,少量掺杂的 $\text{La}^{3+}$ 抑制了 $\text{TiO}_2$ 锐钛矿晶粒的长大,阻止了金晶粒的聚集长大。

## 2.5 催化剂的XPS分析

图5(a)、(b)分别是 $\text{Au}/\text{TiO}_2$ 和 $\text{Au}/\text{La-TiO}_2$ 在450 °C焙烧后Au的XPS谱图。从图5(a)可以看出,Au/

$\text{TiO}_2$ 表面Au物种的 $\text{Au}4f_{7/2}$ 和 $\text{Au}4f_{5/2}$ 的电子结合能分别为82.9 eV和86.5 eV( $\Delta E_b=3.6$  eV),与单质金相应的结合能(84.0 eV和87.7 eV, $\Delta E_b=3.7$  eV)<sup>[14]</sup>很接近,而与 $\text{Au}_2\text{O}_3$ 相应的结合能(86.3 eV和89.6 eV)<sup>[19]</sup>相差较大,表明 $\text{Au}/\text{TiO}_2$ 的表面Au物种主要以 $\text{Au}^0$

形式存在。由于 TiO<sub>2</sub> 表面存在低浓度的氧空位 (TiO<sub>2-δ</sub>)，它是施主型缺陷位，使 TiO<sub>2</sub> 表面存在少量的 Ti<sup>3+</sup><sup>[15]</sup>，在较高的焙烧温度下，可能有一部分 Ti<sup>3+</sup> 向 Au 转移电子，导致 Au 的 4f 电子态密度增加，相应的结合能向低能方向移动。

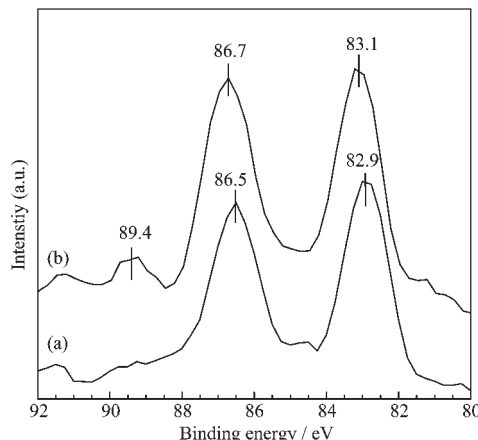


图 5 负载金催化剂中 Au 的 XPS 谱图

Fig.5 XPS spectra of Au in the supported catalysts calcined at 450 °C

与纯 TiO<sub>2</sub> 负载金催化剂比较，掺杂 La<sup>3+</sup>后的负载金催化剂存在 3 个结合能峰，分别为 83.1, 86.7, 89.4 eV。前 2 个峰可归属为 Au<sup>0</sup> 的 Au4f<sub>7/2</sub> 和 Au4f<sub>5/2</sub> 结合能峰，而 89.4 eV 的峰与 Au<sub>2</sub>O<sub>3</sub> 的 Au4f<sub>5/2</sub> 的电子结合能(89.6 eV)更接近，表明 Au/La-TiO<sub>2</sub> 催化剂表面 Au 主要以 Au<sup>0</sup> 形式存在，同时还存在少量的 Au<sub>2</sub>O<sub>3</sub> 物种。Park 等<sup>[9]</sup>研究证实，对于 CO 氧化而言，氧化态的金物种比金属态的金具有更好的活性，而 Bond 等<sup>[16]</sup>认为，活性好的金催化剂既含有 Au<sup>0</sup>，又含有氧化态的金物种(Au<sup>+</sup>或 Au<sup>3+</sup>)，而且 Au<sup>+</sup>

或 Au<sup>3+</sup>物种的存在对于获得高活性的催化剂是十分重要的。由此可见，目前，对 Au 的活性物种的归属尚存在争议，本文掺杂 La<sup>3+</sup>后少量 Au<sub>2</sub>O<sub>3</sub> 的出现及其作用有待进一步研究。

## 2.6 活性评价结果

不同载体负载的金催化剂催化氧化 CO 的结果见表 2。可以看出，当金的理论负载量完全相同时，Au/TiO<sub>2</sub> 和 Au/La-TiO<sub>2</sub> 在 400 °C 及以下温度焙烧后，均显示出很好的 CO 氧化活性，室温下就能将 CO 完全氧化，且 Au/La-TiO<sub>2</sub> 的催化活性稍优于 Au/TiO<sub>2</sub>。当催化剂的焙烧温度提高到 450 °C 时，Au/TiO<sub>2</sub> 上 CO 完全氧化的温度高达 86 °C，而在 Au/La-TiO<sub>2</sub> 上仅为 53 °C，依然保持较好的催化活性。文献<sup>[10]</sup>中报道的 1wt% Au/TiO<sub>2</sub> 经 400 °C 焙烧后，在 50 °C 时 CO 转化率只有 50%，本文中 Au/La-TiO<sub>2</sub> 经 450 °C 焙烧后，仍然能够在 53 °C 下将 1% CO 完全氧化，显示出较高的活性和热稳定性。由表征结果可知，对于负载型金催化剂而言，其催化活性与载体的孔结构及晶粒大小有密切关系，载体的孔结构及晶粒大小影响金在载体上的分散和金晶粒尺寸。当金负载在 La-TiO<sub>2</sub> 上时，由于该载体的介孔孔径以及孔容相对较大，金晶粒分散得更加均匀。在高温焙烧时，由于 La<sup>3+</sup> 的存在使得介孔孔壁保持较好的热稳定性，金晶粒不会因孔壁的塌陷而聚集长大；La<sup>3+</sup> 的存在还抑制了锐钛矿晶粒的长大，负载在锐钛矿晶粒表面的金晶粒也很难通过表面迁移而发生聚集。由此可见，La<sup>3+</sup> 作为一种稳定剂大大地提高了金晶粒的抗烧结能力，提高了金催化剂的氧化活性。

表 2 不同温度焙烧的负载金催化剂催化氧化 CO 的活性

Table 2 CO oxidation activity over supported gold catalysts calcined at different temperatures

Sample	T <sub>100</sub> (%) after calcination at different temperatures			
	300 °C	350 °C	400 °C	450 °C
Au/TiO <sub>2</sub>	14	19	26	86
Au/La-TiO <sub>2</sub>	11	18	25	53

## 3 结 论

(1) 采用 P123 为模板剂，通过原位掺杂少量 LaCl<sub>3</sub> 成功制得了具有较大比表面积和均匀介孔孔径的 La-TiO<sub>2</sub>，掺杂的 La<sup>3+</sup>作为稳定剂阻止了介孔的塌陷，抑制了 TiO<sub>2</sub> 锐钛矿晶粒的长大，提高了 TiO<sub>2</sub> 的热稳定性。

(2) 对负载金催化剂，随焙烧温度提高，La<sup>3+</sup> 的掺杂对催化剂的抗烧结能力和活性影响越来越显著。在 400 °C 以下焙烧时，Au/TiO<sub>2</sub> 和 Au/La-TiO<sub>2</sub> 都具有良好的室温 CO 氧化活性，La<sup>3+</sup> 的掺杂对金催化剂的活性影响并不明显。但是，当催化剂在 450 °C 焙烧时，Au/TiO<sub>2</sub> 的金晶粒尺寸超过 20 nm，该催化剂上 CO 完全氧化的温度达到 86 °C；而 Au/La-TiO<sub>2</sub>

的金晶粒尺寸依然能够保持在9 nm左右,CO完全氧化温度仅为53℃,明显优于文献<sup>[10]</sup>报道的1wt%Au/TiO<sub>2</sub>的活性。掺杂的La<sup>3+</sup>作为稳定剂抑制了金晶粒在高温下的烧结和聚集,从而使Au/La-TiO<sub>2</sub>显示出较好的催化性能和热稳定性。

### 参考文献:

- [1] Haruta M, Yamada N, Kobayashi T, et al. *J. Catal.*, **1989**, **115**(2):301~309
- [2] Bond G C, Thompson D T. *Catal. Rev.-Sci. Eng.*, **1999**, **41**(3~4):319~388
- [3] Valden M, Lai X, Goodman D W. *Science*, **1998**, **281**:1647~1650
- [4] Daté M, Haruta M. *J. Catal.*, **2001**, **201**(2):221~224
- [5] Li W C, Comotti M, Schüth F. *J. Catal.*, **2006**, **237**(1):190~196
- [6] LU Qian(吕倩), MENG Ming(孟明), ZHA Yu-Qing(查宇清). *Cuihua Xuebao(Chinese J. Catal.)*, **2006**, **27**(12):1111~1116
- [7] Bocciuzzi F, Chiorino A, Manzoli M, et al. *J. Catal.*, **1999**, **188**(1):176~185
- [8] Stangland E E, Stavens K B, Andres R P, et al. *J. Catal.*, **2000**, **191**(2):332~347
- [9] Park E D, Lee J S. *J. Catal.*, **1999**, **186**(1):1~11
- [10] Wolf A, Schüth F. *Appl. Catal. A*, **2002**, **226**:1~13
- [11] WANG Wen-Dong(汪文栋), LIN Pei-Yan(林培琰), FU Yi-Lu(伏义路), et al. *Cuihua Xuebao(Chinese J. Catal.)*, **1999**, **20**(5):524~529
- [12] Yuan S, Sheng Q R, Zhang J L, et al. *Micro. & Meso. Mater.*, **2005**, **79**:93~99
- [13] Yin D H, Qin L S, Liu J F, et al. *J. Mol. Catal. A*, **2005**, **240**:40~48
- [14] Grunwaldt J D, Maciejewski M, Becker O S, et al. *J. Catal.*, **1999**, **186**(2):458~469
- [15] Schierbaum K D, Fischer S, Wincott P, et al. *Surf. Sci.*, **1997**, **391**(1~3):196~203
- [16] Bond G C, Thompson D T. *Gold Bull.*, **2000**, **33**:41~51